

## 12 Thermische Verhältnisse von ausgewählten Bohrungen

(P. NIEDERBACHER & D. ELSTER)

In diesem Kapitel werden von ausgewählten Bohrungen im Wiener Becken, im Steirischen und Lavanttaler Becken, in der Oberösterreichischen Molassezone und in den Nördlichen Kalkalpen sowie im Überschiebungsraum der Ostalpen Bohrprofile und thermische Verhältnisse dargestellt (Abb. 151–160, Tab. 133–134).

Pannonische Magmatite		Oberostalpin (Nördliche Kalkalpen)		Unterstalpin (inkl. Tatrikum)	
Tr-L	<i>Trachyandesit</i>	C	Coniacium	KeU	„Keuper“
<b>Inneralpine Becken</b>		Ce	Cenomanium	MT	Mitteltrias, Kalke und Dolomite i. a.
AdK	Aderklaaer Konglomerat (Badenium)	JA	Allgäu-Formation	PTU	„Permoskyth“
B	Badenium	JAd	Adnet-Formation, Klaus-Formation	<b>Penninikum (Rhenodanubische Flyschzone)</b>	
K	Karpatium	JE	Enzesfelder Kalk	AZ	Arosa-Zone
O	Otnangium	JK	Jura Kalke, i. a.	FMK-L	<i>Mergelkalk</i>
P	Pannonium	JO	Oberalm-Formation	FRD	Rhenodanubischer Flysch i. a.
Po	Pontium	JT	Tauglboden-Formation	FSS-L	<i>Sandstein, Schiefer</i>
S	Sarmatium	JV	Vilser Kalk	OKF	Oberkreide
<b>Molasse (autochthon und allochthon)</b>		KK	Kreide, i. a.	PaF	Paläogen
BNS	Bunte Serie	KRF	Gosau-Gruppe („Flyschgosau“) (Campanium–Maastrichtium)	<b>Penninikum/Helvetikum (Klippenzone)</b>	
BRS	Braunrote Serie	KRT	Gosau-Gruppe („Tiefere Gosau“) (Turonium–Coniacium)	HFY	„Hüllflysch“
CHA	Chattium–Aquitanium	KS	Schrambach-Formation	JG	Gresten-Formation
Eg	Egerium	MJ	Mitteljura („Dogger“)	KP	Keuper
Egg	Eggenburgium	N	Berriasium–Hauterivium („Neokom“)	MK	Mergelkalkserie
Eo	Eozän	OJ	Oberjura („Malm“)	SP-L	<i>Serpentin</i>
FS	Schöneck-Formation (Lattorf-Fisch- schiefer)	Pa	Paläogen	UJK	Unterjura („Lias“)
GS-L	<i>Grobsandstein</i>	PT	„Permoskyth“	<b>Helvetikum</b>	
KO-L	<i>Kohle</i>	T	Turonium	HAM	Amden-Formation (Amdener Schichten)
LT	„Lithothamnienkalk“ (Eozän)	TD	Dachsteinkalk	HBO	Bommerstein-Formation (Bommerstein Serie)
Ki	Kiscellium	TDK	Plattenkalk	HMO	Mols-Member (Molser Serie)
ML	Molasse, i. a.	TG	Gutenstein-Formation	HQK	Quinten-Formation (Quintner Kalk)
MOP	Paläogen, i. a.	TH	Hauptdolomit	HRS	Reischiben-Formation (Reischiben Serie)
MSS-L	<i>Mergel-, Schluff-, Sandstein</i>	TK	Kössen-Formation	HSC	Schilt-Formation (Schilt Schichten)
Ot	Otnangium	TL	Lunz-Formation	HSE	Seewen-Formation (Seewerkalk)
PU	Puchkirchen-Gruppe	TLR	Reingraben-Formation	HWA	Wang-Formation (Wang Schichten)
ROS	Rote Serie	TMK	Alpiner Muschelkalk	HZS	Zementstein-Formation (Zementsstein Schichten)
RUT	Zupfing-Formation („Rupel-Tonmergel“)	TO	Opponitz-Formation	OKB	„Buntmergelserie“ (Oberjura)
USM	Untere Süßwassermolasse	TR	Reifling-Formation	OKH	Oberkreide
<b>Südalpin</b>		TRc	Raibler Schichten, Chemische Serie	TSS-L	<i>Ton-, Schluff-, Sandstein</i>
PzS	Paläozoikum	TRH	Reichenhall-Formation	<b>Autochthone Bedeckung</b>	
MzS	Mesozoikum	TRk	Raibler Schichten, Klastische Serie	AJ	Jura
<b>Oberostalpin (Zentrale Ostalpen)</b>		TRK	Rhätium-Riffkalk (Oberrhät Kalk)	AK	Kreide
KG	Gosau-Gruppe	TST	Steinalmkalk und Steinalmdolomit	AKE	Keuper
KRO	Kristallin (Oberostalpin)	TW	Werfener Schichten	AMJ	Mitteljura
PK	Paläozoikum, karbonatischer Anteil	TWD	Wettersteindolomit	AMU	Muschelkalk
Pz	Paläozoikum, i. a.	TWK	Wettersteinkalk	AOJ	Oberjura
<b>Oberostalpin (Grauwackenzone)</b>		TWP	Partnach-Formation	AUJ	Rhätium-Unterjura
PzG	Paläozoikum, i. a.	UJ	Unterjura („Lias“)	AOK	Oberkreide
				<b>Moldanubikum &amp; Moravikum (Kristallin)</b>	
Q	Quartär			KR	Kristallin

Tab. 133.  
Stratigraphische und lithologische Abkürzungen zu den Bohrprofilen in den Abbildungen 151 bis 160.

Bereich	Bohrung	Abbildung	Literatur zu den Bohrprofilen	Literatur zu den thermischen Verhältnissen
Wiener Becken	Berndorf 1	Abb. 151	WESSELY (1983: Tafel 4)	WESSELY (1983)
	Laxenburg 2			
	Sollenau 1			
	Tattendorf 1			
	Himberg 1	Abb. 152	WESSELY (1983: Tafel 5)	WESSELY (1983)
	Schwechat 1a			
	Enzersdorf 17			
	Regelsbrunn 1			
	Stopfenreuth U1			
	Gerhaus 1	Abb. 153	WESSELY (1983: Tafel 6)	WESSELY (1983)
	Breitenlee 3			
	Schönfeld 1			
	Aspern 1			
Aderklaa T1				
Steirisches und Lavantaler Becken	Fürstenfeld Th 1	Abb. 154	GOLDBRUNNER (1988)	GÖTZL et al. (2007)
	Bad Waltersdorf 1		EISNER & GOLDBRUNNER (2003a)	
	Bad Blumau 1a		KRIEGL et al. (1997)	
	Loipersdorf 1 (Binderberg 1)		ZETINIGG (1993)	
	Übersbach 1		BRZOBOHATÝ et al. (2003)	
	Litzelsdorf 1			
	Ilz Th 1	Abb. 155	GOLDBRUNNER & EISNER (1999)	
	Petersdorf 1		BRZOBOHATÝ et al. (2003)	
	Palldau 1		EBNER & SACHSENHOFER (1991)	
	Mitterlabill 1		BRZOBOHATÝ et al. (2003)	
	Bad Gleichenberg Th 1		KRIEGL & GOLDBRUNNER (2002)	
	St. Nikolai 2	Abb. 156	EBNER & SACHSENHOFER (1991)	
	Radkersburg 2		ZETINIGG (1993)	
	Jennersdorf 1		EBNER & SACHSENHOFER (1991)	
	Pichla 1		EISNER et al. (2000)	
	Köflach Th 1			
	Afling U1	GÖTZL et al. (2007)		
	Ludersdorf 2	Abb. 156	EBNER & SACHSENHOFER (1991)	
	Arnwiesen 1		Wasserrechtlich relevante Unterlagen der Steiermärkischen Landesregierung	
Graz-Puntigam III				
Eitweg 79	Abb. 156	EBNER & SACHSENHOFER (1991)		
Oberösterreichische Molasse	Altheim Th 1a	Abb. 157	RUPP (2011: 154)	KAMYAR (2000)
	Geinberg 1		GOLDBRUNNER et al. (1999)	
	Reichersberg 2		GOLDBRUNNER & DOMBERGER (1992)	
	Bad Schallerbach S2		GOLDBRUNNER & DOMBERGER (1992); LOHBERGER & THÜRRIEDL (2000)	
	Obernberg Th 1		GOLDBRUNNER & DOMBERGER, (1992)	Fachinformationssystem Geophysik, LIAG, Zugang am 16.12.2014
	Reichersberg 1			
Nördliche Kalkalpen und Überschiebungsräume der Ostalpen	Mitterbach 1	Abb. 158	HAMILTON (1989: Abb. 4)	OMV
	Urmannsau 1		HAMILTON (1989: Abb. 7)	
	Unterlaussa 1		JANDA (2000: Abb. 18)	
	Molln 1	Abb. 159	HAMILTON (1989: Abb. 26), BRIX & SCHULTZ (1993)	KRAMER & KRÖLL (1979)
	Grünau 1		HAMILTON (1989: Abb. 20)	
	Vordersee 1		unpublizierte Daten der OMV	
	Vigaun U1		BACHMANN & KRÖLL (1979)	
	Vorderriß 1 (D)		BACHMANN & MÜLLER (1981)	
	Hindelang 1 (D)	Abb. 160	HUBER & SCHWERDT (1995)	HILTMANN et al. (1995: 184f)
	Sulzberg 1		MÜLLER (1985)	VEF
	Vorarberg-Au 1		COLINS et al. (1990)	COLINS et al. (1990)
	Dornbirn 1		HUF (1963)	VEF

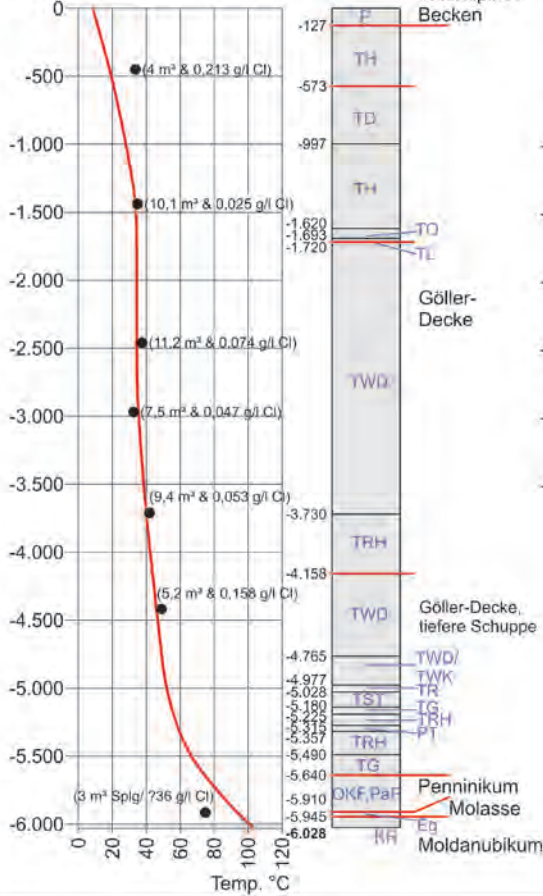
Tab. 134.

Übersicht zu der verwendeten Literatur für die Erstellung von Bohrprofilen und thermischen Verhältnissen in den Abbildungen 151 bis 160.

# Wiener Becken Kalkalpen Weststrandscholle

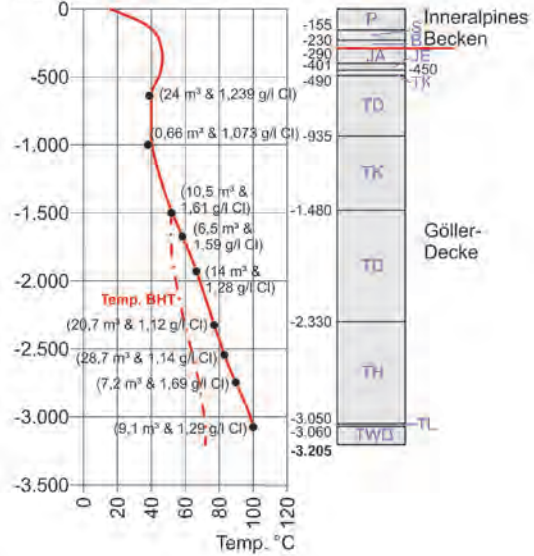
## Berndorf 1

m u. GOK



## Laxenburg 2

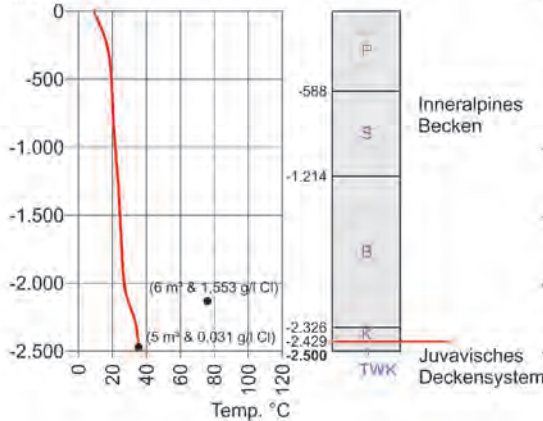
m u. GOK



## Südlicher Beckenanteil

### Sollenau 1

m u. GOK



### Tattendorf 1

m u. GOK

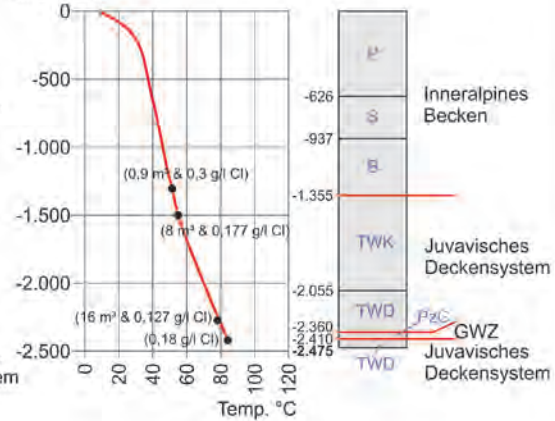


Abb. 151. Bohrprofile und thermische Verhältnisse ausgewählter Bohrungen aus dem Wiener Becken, Teil 1. Details zu Berndorf 1 in Kapitel 7.1.1 (Tab. 83, Abb. 81).

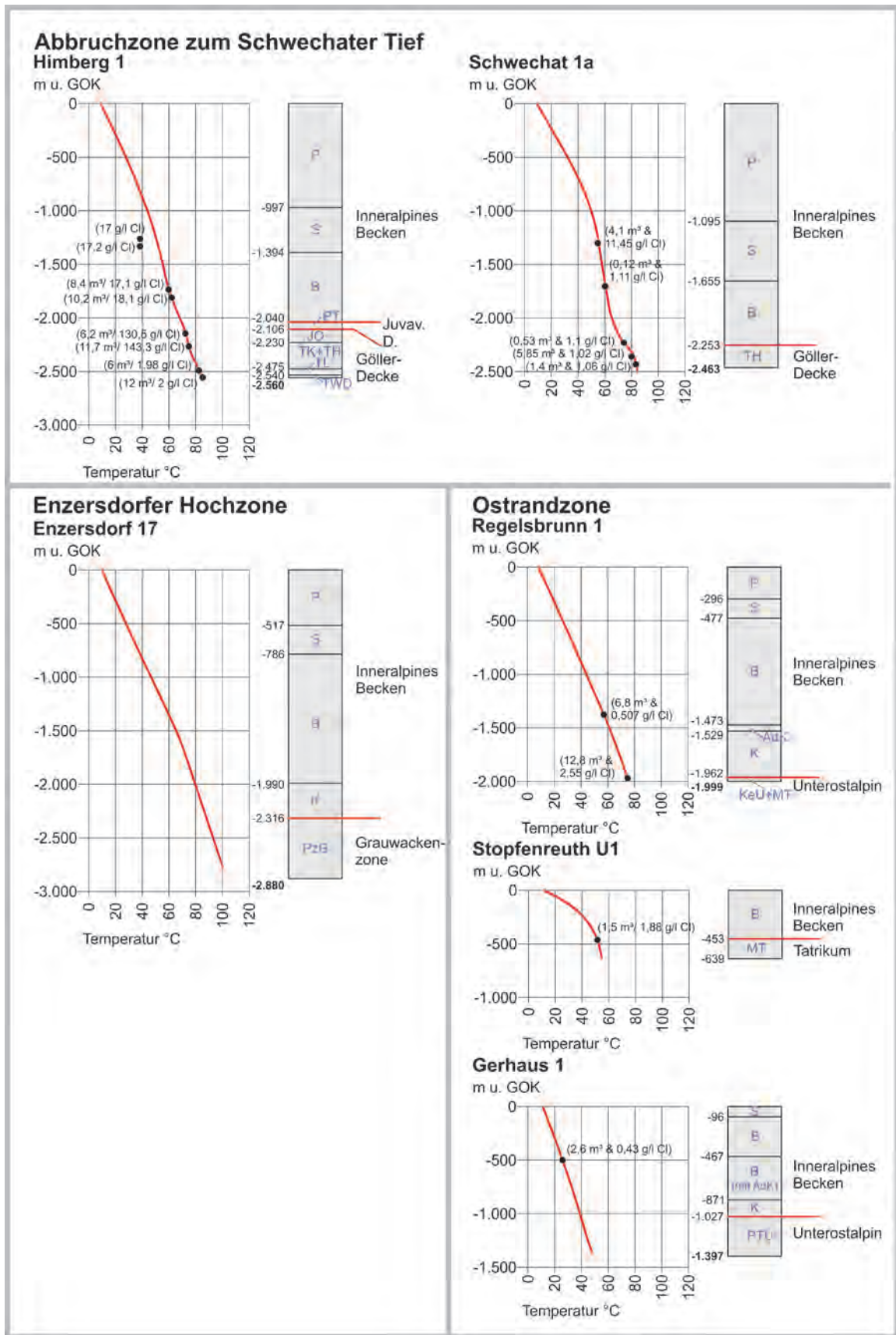


Abb. 152. Bohrprofile und thermische Verhältnisse ausgewählter Bohrungen aus dem Wiener Becken, Teil 2. Details zu Stopfenreuth U1 in Kapitel 4.2.2.

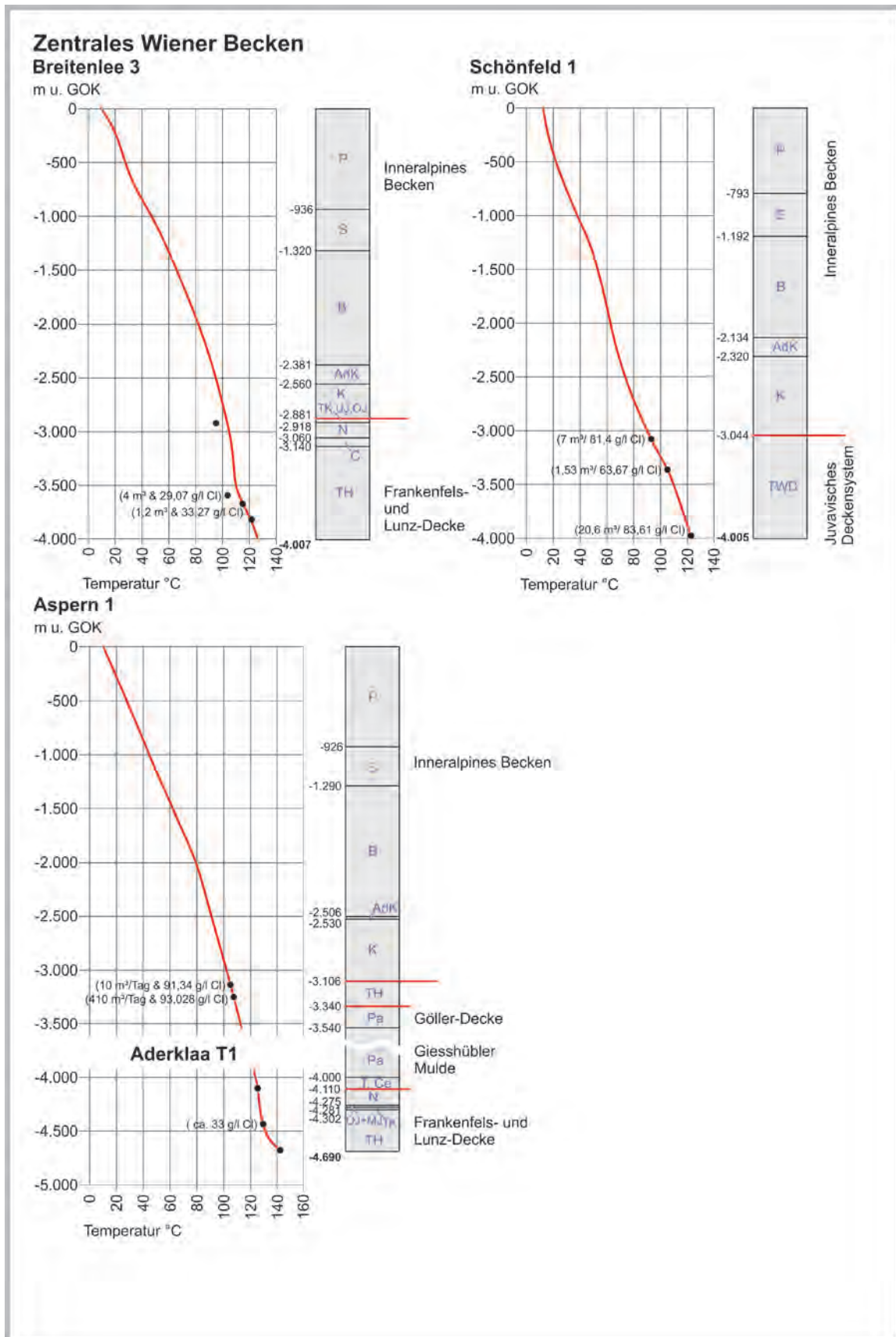
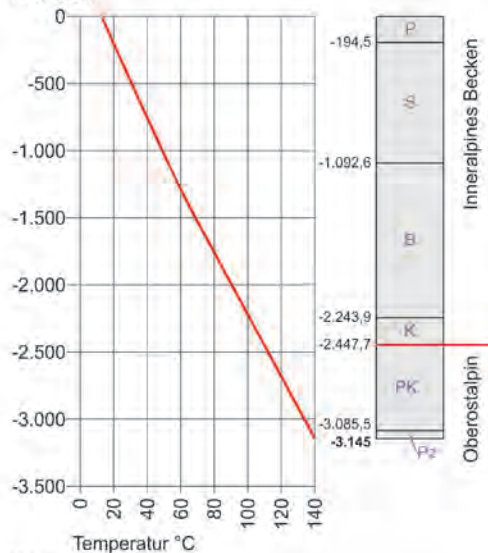


Abb. 153. Bohrprofile und thermische Verhältnisse ausgewählter Bohrungen aus dem Wiener Becken, Teil 3.

# Steirisches Becken

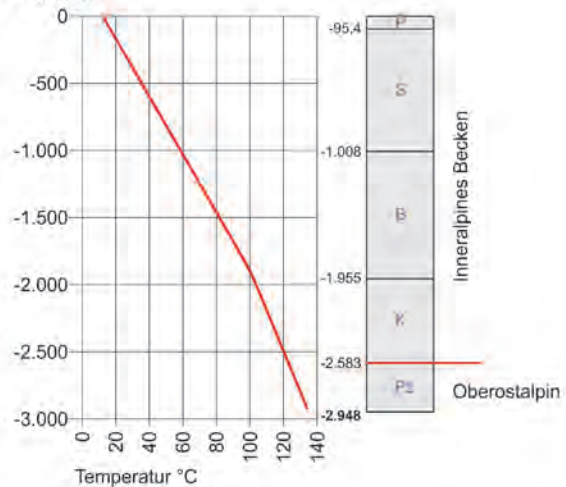
## Fürstenfeld Th1

m u. GOK



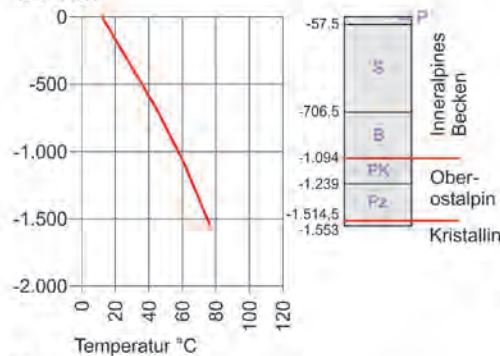
## Blumau 1a

m u. GOK



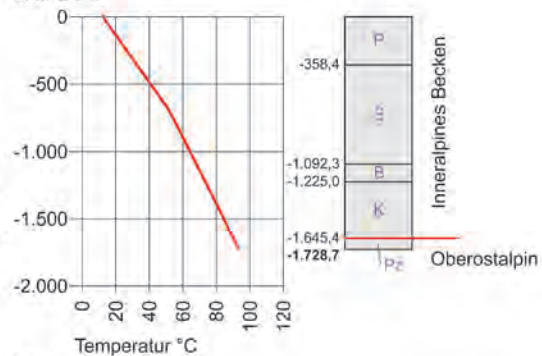
## Waltersdorf 1

m u. GOK



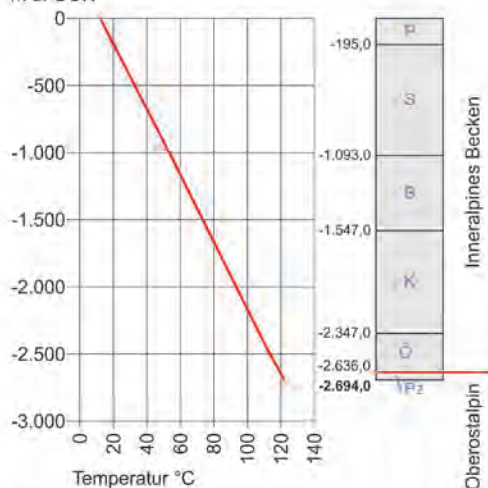
## Loipersdorf 1 (Binderberg 1)

m u. GOK



## Übersbach 1

m u. GOK



## Litzelsdorf 1

m u. GOK

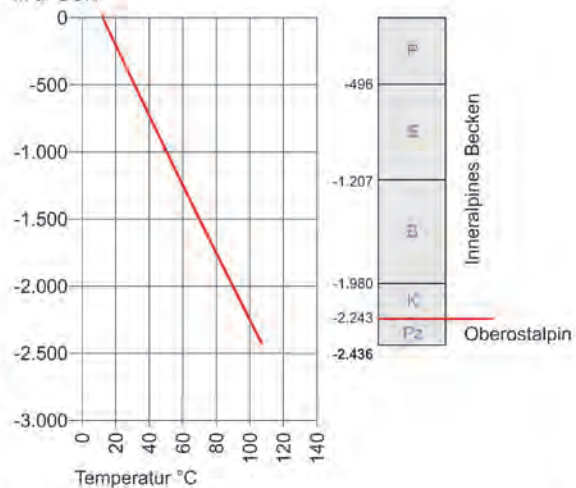


Abb. 154.

Bohrprofile und thermische Verhältnisse ausgewählter Bohrungen aus dem Steirisches und Lavanttaler Becken, Teil 1. Details zu Fürstenfeld Thermal 1 in Kapitel 5.2.6 (Tab. 57, Abb. 57), zu Bad Blumau 1a in Kapitel 5.2.7 (Tab. 58, Abb. 59), zu Bad Waltersdorf 1 in Kapitel 5.2.8 (Tab. 59, Abb. 61), zu Loipersdorf 1 in Kapitel 5.2.5 (Tab. 55) und zu Litzelsdorf 1 in Kapitel 5.2.4 (Tab. 54).

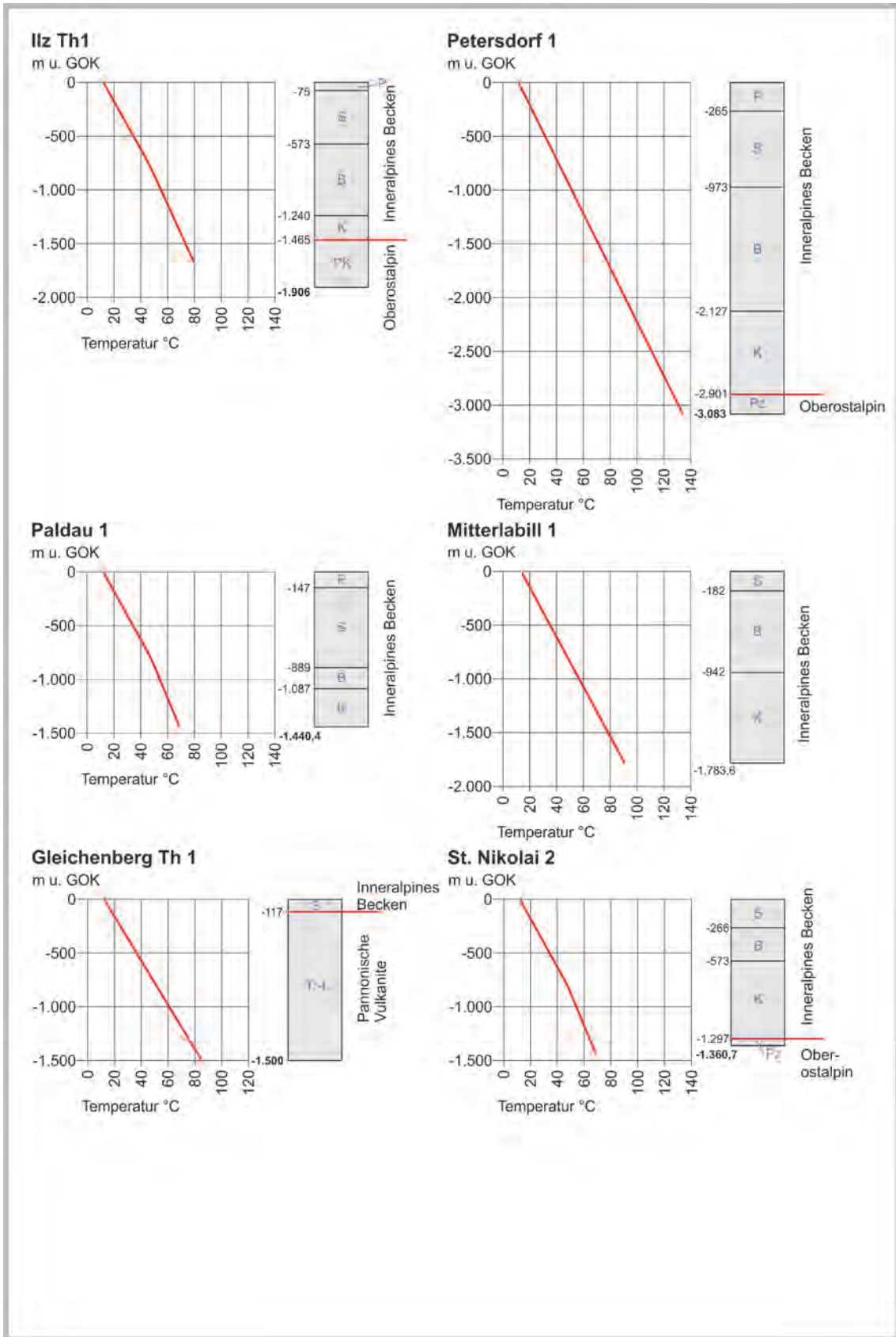


Abb. 155. Bohrprofile und thermische Verhältnisse ausgewählter Bohrungen aus dem Steirischen und Lavanttaler Becken, Teil 2. Details zu Ilz Thermal 1 in Kapitel 5.2.11 (Tab. 63, Abb. 66) und zu Bad Gleichenberg Thermal 1 in Kapitel 5.2.10.

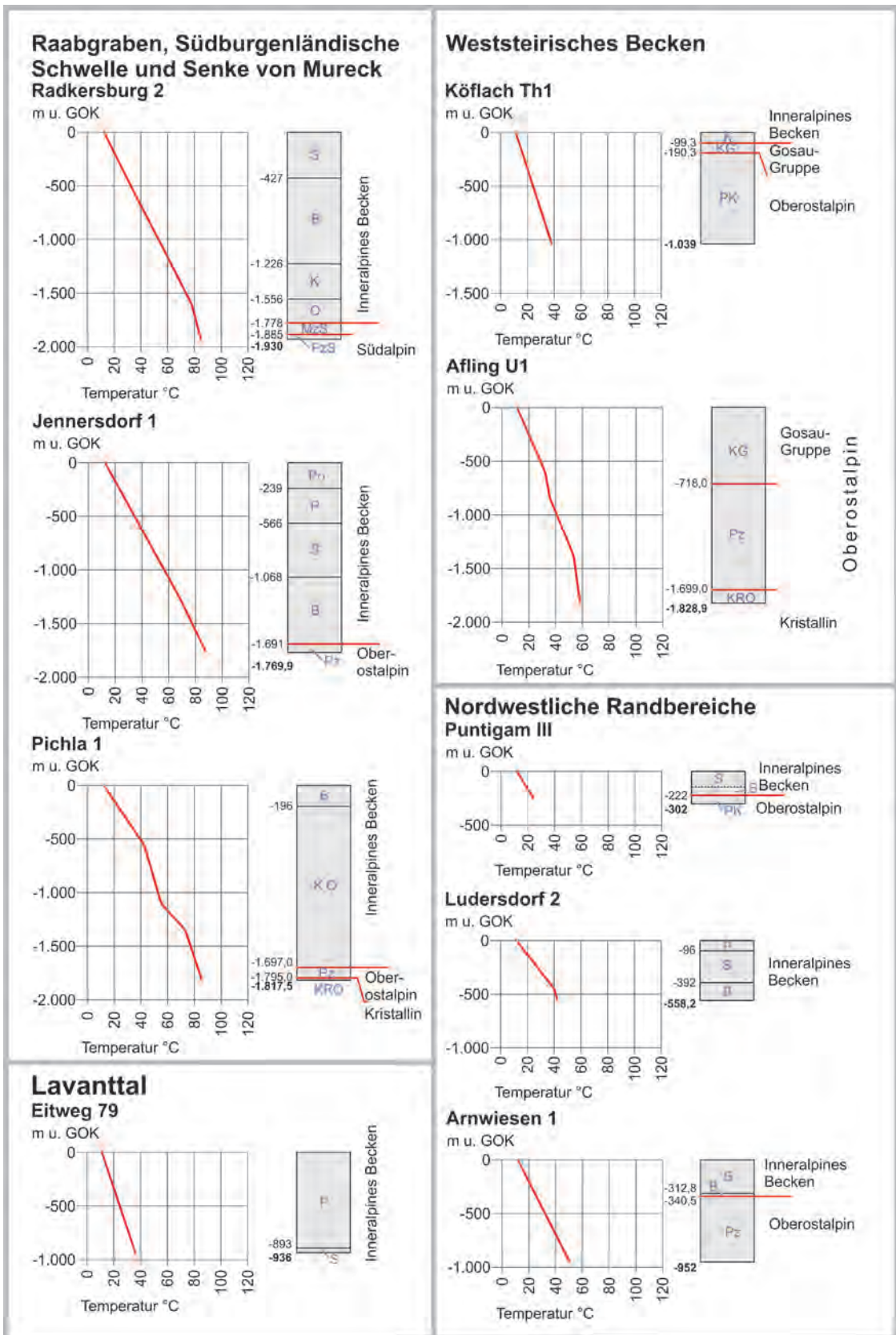
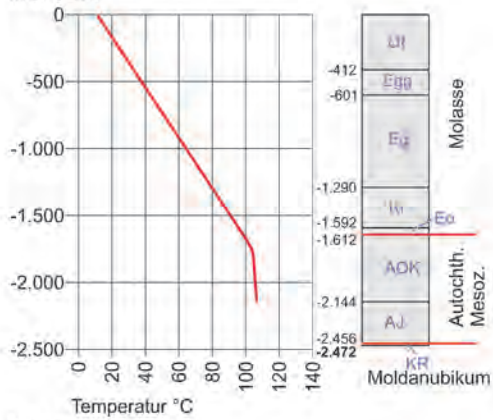


Abb. 156. Bohrprofile und thermische Verhältnisse ausgewählter Bohrungen aus dem Steirischen und Lavanttaler Becken, Teil 3. Details zu Bad Radkersburg 2 in Kapitel 6.3 (Tab. 78, Abb. 79), zu Köflach Thermal 1 in Kapitel 5.2.17 (Tab. 68, Abb. 74) und zu Puntigam III in Kapitel 5.2.15 (Tab. 67, Abb. 71).

## Oberösterreichische Molasse

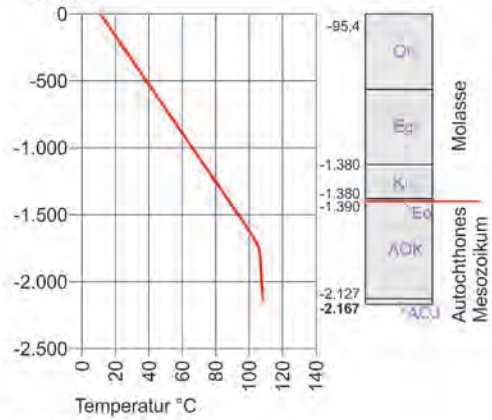
### Altheim Thermal 1a

m u. GOK



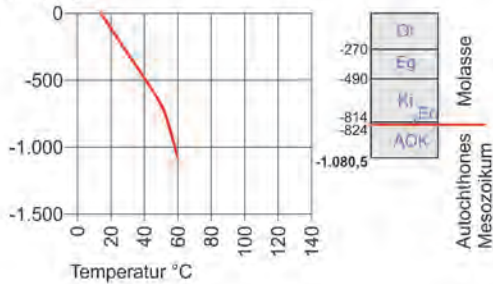
### Geinberg 1

m u. GOK



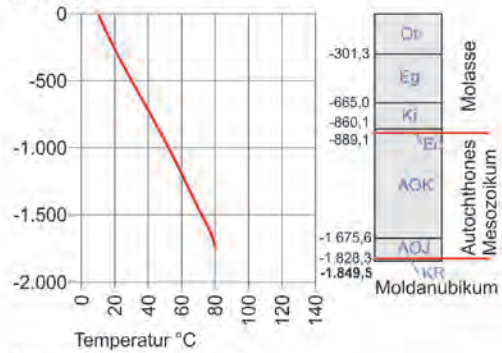
### Obernberg Th 1

m u. GOK



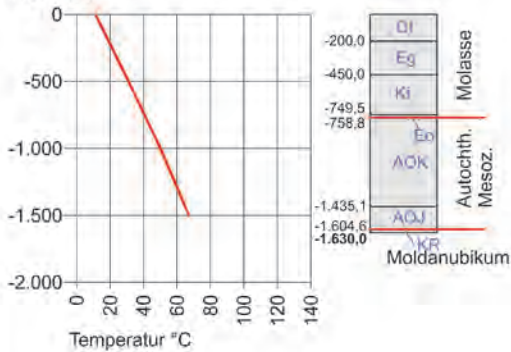
### Reichersberg 1

m u. GOK



### Reichersberg 2

m u. GOK



### Bad Schallerbach S2

m u. GOK

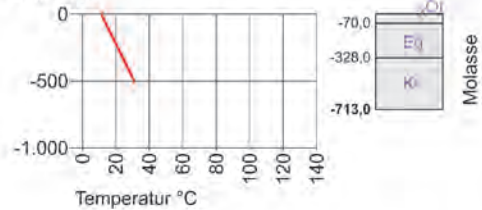


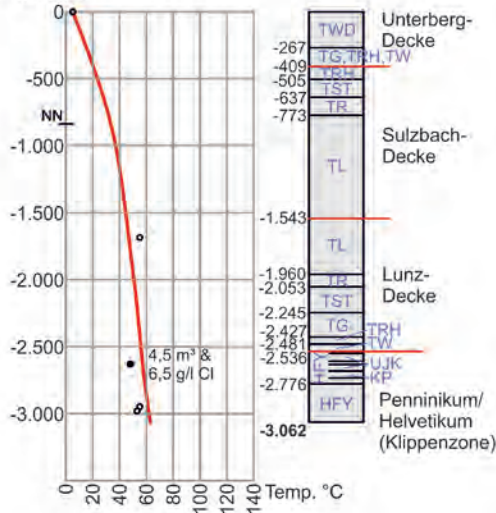
Abb. 157.

Bohrprofile und thermische Verhältnisse ausgewählter Bohrungen aus der Oberösterreichischen Molasse. Details zu Altheim Thermal 1a in Kapitel 3.2.12 (Tab. 28, Abb. 26), zu Geinberg 1 in Kapitel 3.2.11 (Tab. 27, Abb. 24), zu Obernberg Thermal 1 in Kapitel 3.2.10 (Tab. 26), zu Reichersberg 1 und 2 in Kapitel 3.2.9 (Tab. 25) und zu Bad Schallerbach S2 in Kapitel 3.2.4 (Abb. 15).

## Nördliche Kalkalpen

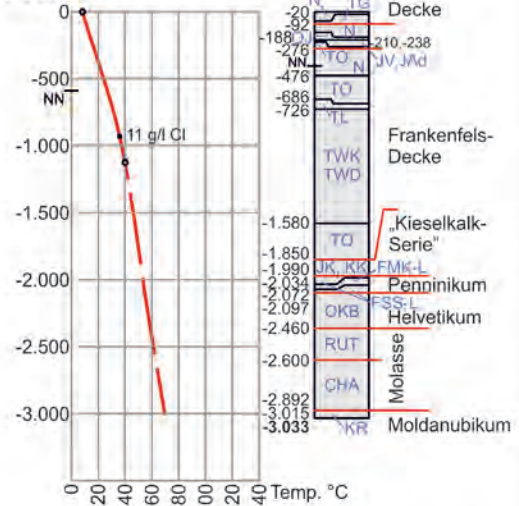
### Mitterbach U1

m u. GOK



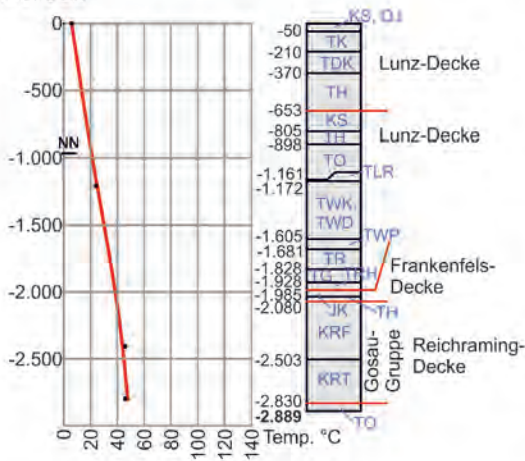
### Urmansau U1

m u. GOK



### Unterlaussa 1

m u. GOK



### Molln 1 (a-d)

m u. GOK

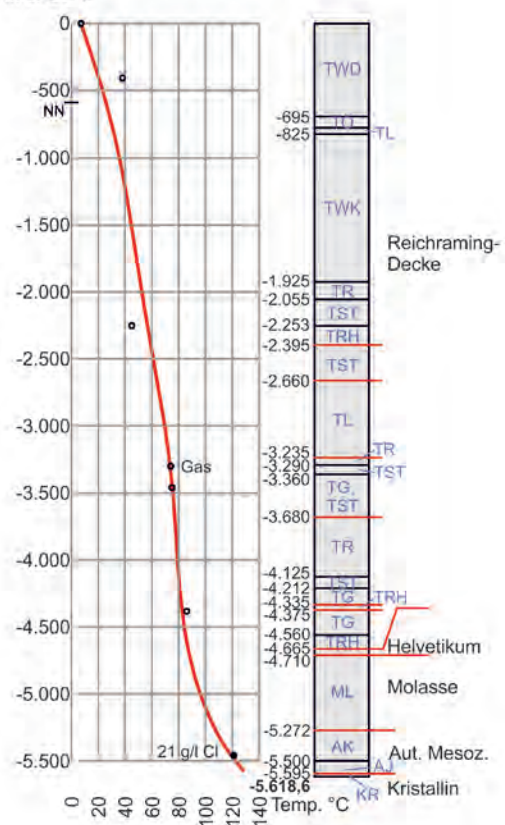


Abb. 158.

Bohrprofile und thermische Verhältnisse ausgewählter Bohrungen aus den Nördlichen Kalkalpen, Teil 1. Details zu Mitterbach U1 in Kapitel 7.1.2 (Tab. 84, Abb. 82), zu Urmansau U1 in Kapitel 7.1.3 (Tab. 85, Abb. 83), zu Unterlaussa 1 in Kapitel 7.1.4 (Tab. 86, Abb. 84) und zu Molln 1 in Kapitel 7.1.5 (Tab. 87, Abb. 84, 85).

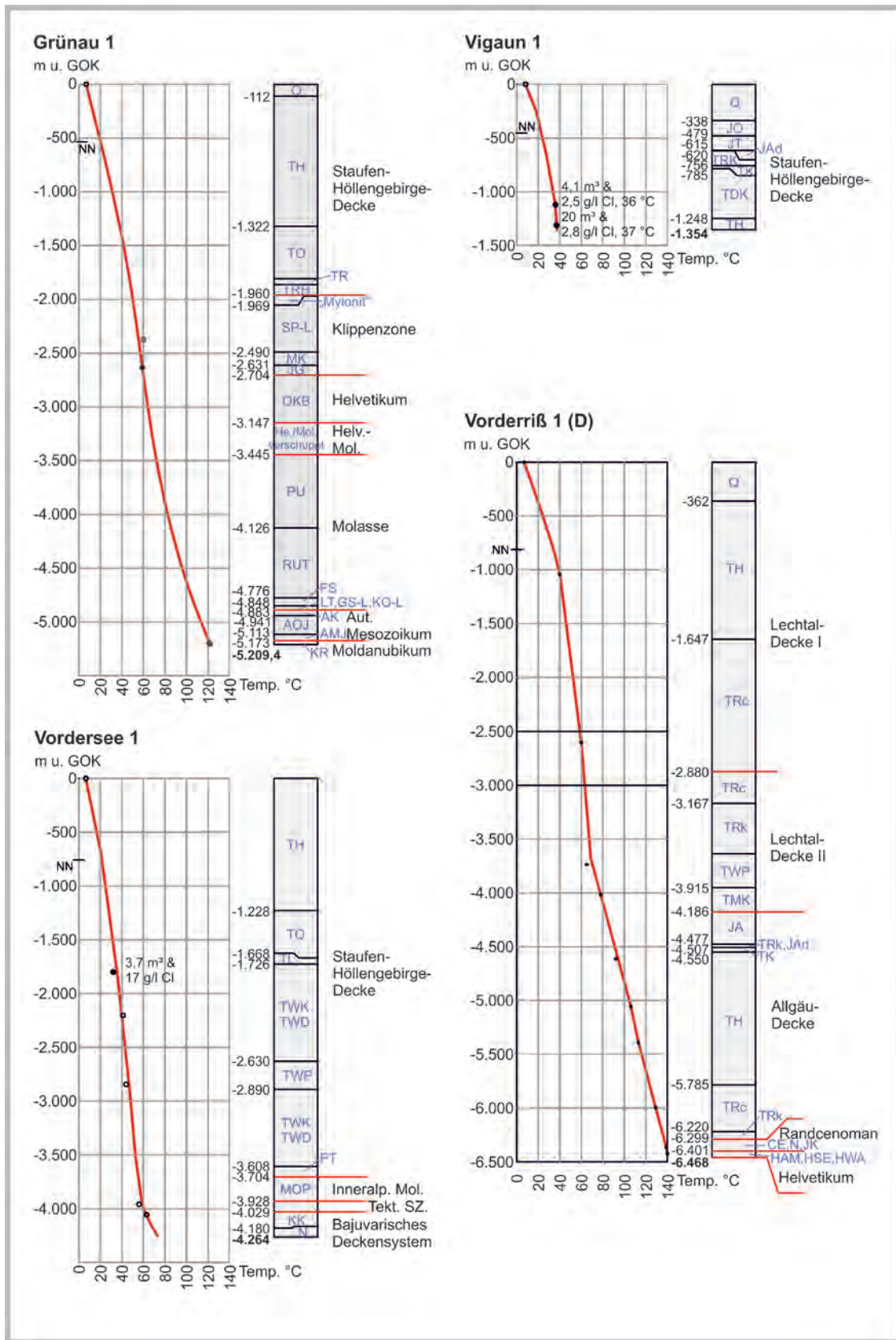


Abb. 159. Bohrprofile und thermische Verhältnisse ausgewählter Bohrungen aus den Nördlichen Kalkalpen, Teil 2. Details zu Grünau 1 in Kapitel 7.1.6 (Tab. 88, Abb. 86), zu Vigaun U1 in Kapitel 7.2.7 (Tab. 98, Abb. 102), zu Vordersee 1 in Kapitel 7.1.7 (Tab. 89, Abb. 87) und zu Vorderriß 1 in Kapitel 7.1.8 (Tab. 90, Abb. 88).

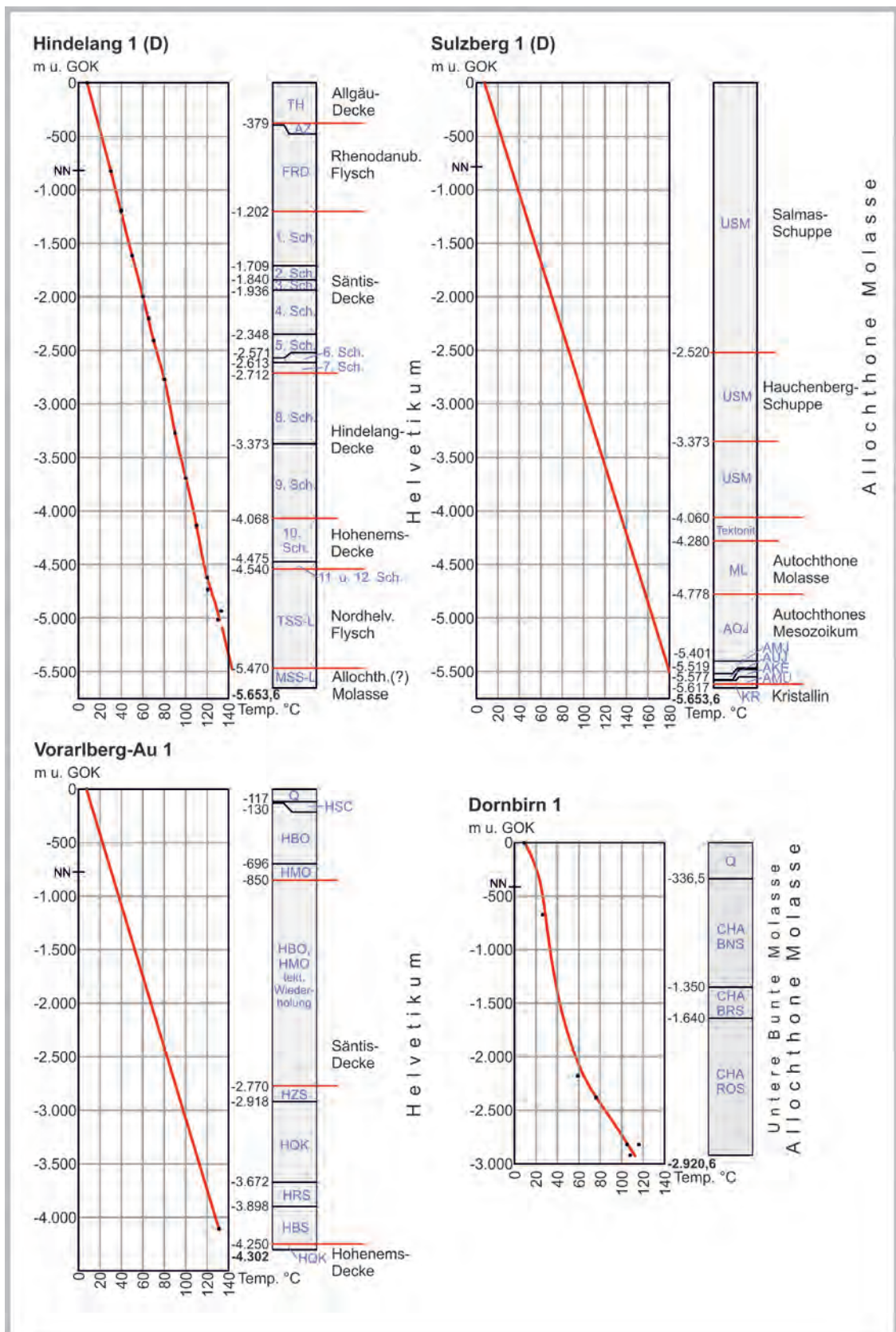


Abb. 160. Bohrprofile und thermische Verhältnisse ausgewählter Bohrungen aus den Nördlichen Kalkalpen, Teil 3. Details zu Hindelang 1 in Kapitel 7.1.9 (Tab. 92, Abb. 89), zu Vorarlberg-Au 1 in Kapitel 7.1.10 (Tab. 93, Abb. 90), zu Sulzberg 1 in Kapitel 7.1.11 (Tab. 94, Abb. 91) und zu Dornbirn 1 in Kapitel 7.1.12 (Tab. 95).